

© 2015 Мельник О.Я.¹, Чорноус В.О.², Яковичук Н.Д.², Вовк М.В.³

¹Івано-Франківський національний медичний університет, Івано-Франківськ

²Буковинський державний медичний університет, Чернівці

³Інститут органічної хімії НАН України, Київ

СИНТЕЗ, ПРОТИМІКРОБНА ТА ПРОТИГРИБКОВА АКТИВНІСТЬ 4-(4-ХЛОРО-5-ІМІДАЗОЛІЛ)ЗАМІЩЕНИХ 2-АМІНО-4Н-ХРОМЕН-3-КАРБОНІТРИЛІВ

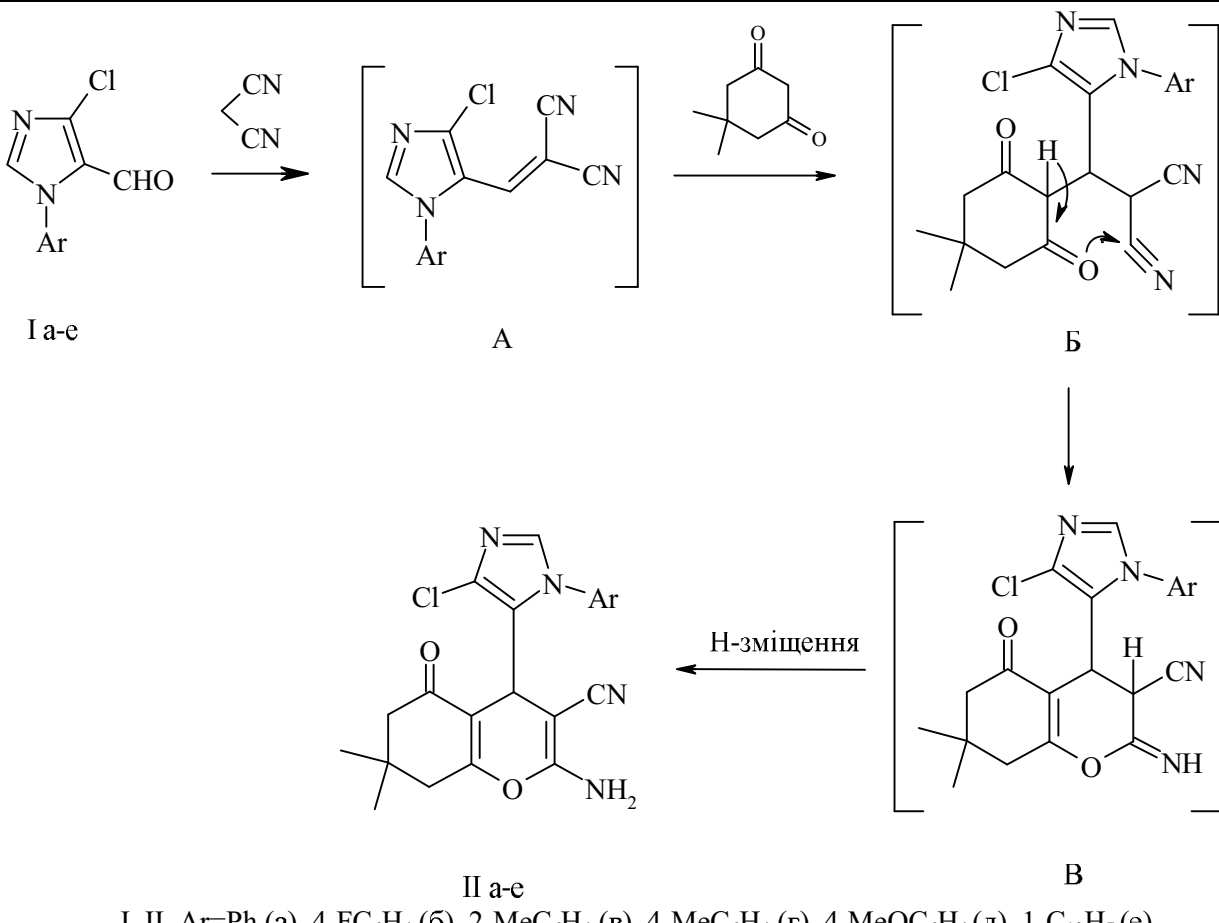
Трикомпонентною конденсацією 4-хлоро-5-формілімідазолів із малононітрилом і димедоном за наявності каталітичних кількостей натрій ацетату синтезовані 2-аміно-4-(4-хлоро-5-імідазоліл)-4Н-хромен-3-карбонітрили. Біоскрінінг синтезованих сполук виявив їх високу протимікробну та протигрибкову активність.

Ключові слова: 4-хлоро-5-формілімідазоли, малононітрил, димедон, 2-аміно-4-(4-хлоро-5-імідазоліл)-4Н-хромен-3-карбонітрили, конденсація, протимікробна та протигрибкова активність

Сполуки 4Н-хроменового ряду завдяки широкому діапазону синтетичних та біологічних властивостей [1, 2] належать до об'єктів поглиблого зацікавлення фахівців у галузях органічної та медичної хімії. Зокрема, низка полізаміщених представників даних сполук містить фрагменти, які виявлені в речовинах природного походження [3, 4]. Віднедавна предметом особливої уваги стали 2-аміно-5-оксо-5,6,7,8-тетрагідро-4Н-хромен-3-карбонітрили, як потенційні препарати для лікування нейродегенеративних захворювань [5]. Спектр біологічної дії цього класу сполук був значно розширеній введенням у положення 4 хроменового ядра гетероциклічних замісників. Установлено, що похідні 2-аміно-5-оксохромен-3-карбонітрилів, 4-функціоналізовані фурильним [6] фрагментом відзначаються молюскоцидною дією, тієнільним, пірольним [7], піразольним [8, 9], індолільним [10] та хінолінільним [11] ядрами – бактерицидною активністю, кумарильним залишком – антидепресантним ефектом [12]. Не менш важливим видається використання деяких 4-заміщених 2-аміно-3-ціанохроменів у ролі будівельних блоків для одержання біоперспективних конденсованих гетероциклів [13-15].

Загалом, арсенал поліфункціональних похідних хромену може бути значно розширеній за рахунок ведення в базовий скаfold нових біофорних гетероциклічних фрагментів, до яких у першу чергу слід віднести залишок 4-хлоро-5-імідазолу [16]. Для практичного розв'язку цієї задачі було досліджено циклоконденсацію 1-арил-4-хлоро-5-формілімідазолів **Ia-e** із малононітрилом і димедоном та досліджені бактерицидні властивості одержаних сполук.

Знайдено, що нагрівання еквімолярних кількостей указаних реагентів за наявності каталітичної добавки натрій ацетату впродовж 10 год в етанолі при 55-58 °C приводить до 2-аміно-4-(4-хлоро-5-імідазоліл)-4Н-хромен-3-карбонітрилів **IIa-e** із виходами 73-94%. Зазначимо, що вплив просторових параметрів замісників у альдегідах **Ia-e** практично не позначається на селективності перебігу трикомпонентної циклізації. Із урахуванням допущень авторів праць [7, 17], найвірогідніше вона здійснюється через первинну стадію утворення продуктів Кневенагеля **A** із наступною реакцією Міхаеля, яка приводить до інтермедиатів **B**, що склонні до циклізації в цільові сполуки **IIa-e** через прототропне зміщення в інтермедиаті **B**.



Будова синтезованих сполук (табл 1-3) узгоджується із результатами вимірювань їх спектральних характеристик. Так, в ІЧ спектрах наявні сильноінтенсивні смуги аміногруп (3327-3331 та 3381-3391 см⁻¹), а також нітрильної (2189-2195 см⁻¹), карбонільної (1683-1687 см⁻¹) та алкенільної (1647-1651 см⁻¹) груп. У спектрах ЯМР ¹H сполук (**Іа, б, г, д**) поряд із синглетами протонів аміногрупи при 7.04-7.17 м.ч. і протонів H⁴ при 4.14-4.22 м.ч. наявні дублети діастереотопних метиленових протонів в положенні 6 хроменового циклу при 2.09-2.12 м.ч. та 2.16-2.23 м.ч., а також мультиплети метиленових протонів у положенні 8 при 2.29-2.52 м.ч. А сполуки (**Ів, е**), які містять у положенні 1 імідазольного циклу просторово утруднені 2-метилфенільний та 2-нафтільний замісники, за рахунок загальмованого обертання створюють передумови для виникнення ефекту атропоізомерії і появи осі хіральності. Це приводить до ускладнення спектральної картини: для сполуки (**Ів**) протони метиленових і метильних груп хроменового циклу прописуються як мультиплетами, а для сполуки (**Іе**) мультиплети характерні для всіх, без винятку, груп протонів.

Формування в процесі циклізації піранового ядра надійно підтверджується спектрами ЯМР

¹³C, які відрізняються наборами характерних сигналів в діапазонах: C²(158-159 м.ч.), C³(53-54 м.ч.), C⁴(25-26 м.ч.), C^{4a}(108-109 м.ч.), C⁵(195-196 м.ч.) та C^{8a}(162-163 м.ч.).

Скрінінг протимікроної дії досліджених сполук (табл.4) показав, що більшість із них проявляє мінімальну бактеріостатичну активність у концентраціях 65.5 -31.3 мкг/мл, що відповідно у 2-4 рази перевищує дію взятого як тест-об'єкт антибіотичного препарату Лораксон. При цьому найвиразнішим ефектом по відношенню до всіх типів клінічних штамів відрізняються сполуки **Іа, б**, які у положенні 1 імідазольного циклу містять фенільний або 4-фторофенільний замісники. Фунгістатична дія щодо грибів *C. albicans* 815 сполук **Іа-г, е** також виявилася високою і сягає рівня 31.3 мкг/мл.

Отримані експериментальні результати доволі обнадійливі для подальшого спрямованого пошуку в ряду 4-імідазолілзаміщених похідних 2-аміно-3-цианохроменів ефективних бактерицидних препаратів

Експериментальна частина

ІЧ-спектри сполук у таблетках KBr записані на прикладі UR-20. Спектри ЯМР

Н виміряні на прикладі Bruker Avance DRX (500.13 МГц), внутрішній стандарт – ТМС. Хроматомас-спектри одержані на приладі PE SCXAPI 150 EX, детектори UV (250 нм) та ELSOJ.

2-Аміно-4(1-арил-4-хлоро-1H-імідазол-5-іл)-7,7-диметил-5-оксо-5,6,7,8-тетрагідро-4H-хромен-3-карбонітрили (Па-е). До суміші 0.165 г (2.5 ммол) малононітрилу, 0.35 г (2.5 ммол) димедону та 0.05 г (0.6 ммол) ацетату натрію в 5 мл 20%-ного водного етанолу додавали при перемішуванні розчин 2.5 ммол імідазол-5-карбальдегіду **Ia-e** в 10 мл 20%-ного водного етанолу. Реакційну суміш нагрівали впродовж 10 год при 55-58°C, охолоджували і нейтралізували розведеною хлоридною кислотою до pH 5. Утворений осад відфільтровували, промивали 20%-ним етанолом, сушили і кристалізували із 60%-ного водного етанолу.

Антибактеріальну та протигрибкову активність сполук **Па-е** визначали модифікованим мікрометодом дворазових серійних розведення в одноразових полістиролових 96-лункових планшетах із використанням 8-канального титратора [18]. Для вивчення antimікотичної та протимікроної активності використовували клінічні штами бактерій *S.aureus* 25923, *E.faecalis* 6783, *E. coli* 25922, *B. Subtilis* *P. aeruginosa* 27853 та грибів *C. albicans* 815. Із досліджуваних сполук готували дворазові серійні розведення (від 500мкг/мл до 7,8 мкг/мл). Визначення мінімальної інгібуточої концентрації сполук щодо *S.aureus* 25923 оцінювали після 24 год інкубації, а щодо *C. albicans* 815 – після 48-72 год. Мінімальну бактеріостатичну (МБсК) і мінімальну фунгістатичну (МФсК) концентрації оцінювали за найменшими розведеннями сполуки, за наявності якої відбувалося пригнічення росту тест-культури мікроорганізму.

Висновки

Розроблено препаративно зручний метод синтезу нових 2-аміно-4-(4-хлоро-5-імідазоліл)-4H-хромен-3-карбонітрилів, який передбачає каталітичну трикомпонентну конденсацію 4-хлоро-5-формілімідазолів із малононітрилом та димедоном.

Знайдено, що синтезовані імідазолівмісні

похідні 2-амінохромен-3-карбонітрилів характеризуються високою протибактеріальною та протигрибковою активністю.

Список літератури

1. Foye W.O. Principi di Chimica Farmaceutica. Padova, Italy: Piccin, 1991. – 416 p.
2. Bonsignore L., Loy G., Secci D., Calignano A. Synthesis and pharmacological activity of 2-oxo-(2H)-1-benzopyran-3-carboxamide derivatives // Eur. J. Med. Chem. – 1993. – Vol. 28. – P. 517-520.
3. Hatakeyama S., Ochi N., Numata H., Takano S. A new route to substituted 3-methoxycarbonyldihydropyrans; enantioselective synthesis of (-)-methyl elenolate // J. Chem. Soc. Chem. Commun. – 1988. – Vol. 17. – P. 1202-1204.
4. Gonzalez R., Martín N., Seoane C et al. The first asymmetric synthesis of polyfunctionalized 4H-pyrans via Michael addition of malononitrile to 2-acyl acrylates // Tetrahedron lett. – 1992. – Vol. 33. – P. 3809-3812.
5. Pat. Int. Appl WO 2000075123 A1. Substituted 5-oxo-5,6,7,8-tetrahydro-4h-1-benzopyrans and benzothiopyrans and the use thereof as potentiaters of AMPA / Konkoy C.S., Fick D.B., Cai S.X. et al. (15.08.2000) // Chem. Abstr. – 2001. – Vol. 134. – 29313a.
6. Abdelrazek F.M., Metz P, Kataeva O. et al. Synthesis and molluscicidal activity of new chromene and pyrano[2,3-c]pyrazole derivatives // Arch. Pharm. – 2007. – Vol. 340, № 10. – P. 543-548.
7. Paliwal P.K., Jetti S.R., Jain S. Green approach towards the facile synthesis of dihydropyranoc(chromene and pyrano[2,3-d] pyrimidine derivatives and their biological evaluation // Med. Chem. Res. – 2013. – Vol. 22. – P. 2984-2900.
8. Sangani C.B., Shah N.M., Patel M.P., Patel R.G. Microwave-assisted synthesis of novel 4H-chromene derivatives bearing phenoxyprazole and their antimicrobial activity assessment // J. Serb. Chem. Soc. – 2012. – Vol. 77, № 9. – P. 1165-1174.
9. Kalaria P.N., Satasia S.P., Raval D.K. Synthesis, characterization and biological screening of novel 5-imidazopyrazole incorporated fused pyran motifs under microwave irradiation // New J. Chem. – 2014. – Vol. 38, № 4. – P. 1512-1521.
10. Kathroliya H.G., Patel M.P. Microwave-assisted synthesis of 3'-indolyl substituted 4H-chromenes catalyzed by DMAP and their antimicrobial activity // Med. Chem. Res. –

2012. – Vol. 21. – P. 3406–3416.
11. Sangani C.B., Shah N.M., Patel M.P., Patel R.G. Microwave-assisted synthesis of novel 4H-chromene derivatives bearing 2-aryloxyquinoline and their antimicrobial activity assessment // Med. Chem. Res. – 2013. – Vol. 22. – P. 3831-3842.
12. Sashidhara K.V., Modukuri R.K., Singh S. et al. Design and synthesis of new series of coumarin–aminopyran derivatives possessing potential anti-depressant-like activity // Bioorg. Med. Chem. Lett. – 2015. – Vol. 25. – P. 337-341.
13. Wamhoff H., Kroth E., Strauch C. Dihalogentriphenylphosphorane in der heterocyclensynthese; 27 : 1 : Heterokondensierte 1,2,4-triazolo[1,5-с]pyrimidine aus enaminonitrilen via O – ethylformimide // Synthesis – 1993. – Vol. 11. – P. 1129-1132.
14. Wang Z.-X, Li B., Xing Z. et al. Synthesis of novel 9,9-dimethyl-8,12-dihydro-9H-
- chromeno[3,2-e] [1,2,4] triazolo[1,5-c]pyrimidin-11(10H)-one derivatives // J. Chem. Res.(S). – 2014.– Vol. 38, № 8. – P. 480-485.
15. Marco-Contelles J., Leon R., Ríos C. et al. New multipotent tetracyclic tacrines with neuroprotective activity // Bioorg. Med. Chem. – 2006. – Vol. 14. – P. 8176–8185
16. Чорноус В.А., Грозав А.Н., Вовк М.В. Химия и биологическая активность азолов. Ред. В. Броварец и В. Зебров. LAP Lambert Acad. Publ. – 2014. – P. 75-101.
17. Kumar D., Reddy V.B., Sharad S. at al. A facile one-pot green synthesis and antibacterial activity of 2-amino-4H-pyrans and 2-amino-5-oxo-5,6,7,8-tetrahydro-4H-chromenes // Eur. J. Med. Chem. – 2009. – Vol. 44. – P. 3805–3809.
18. Лабинская А.С., Блинкова Л.П., Ешхина А.С. Общая и санитарная микробиология с техникой микробиологических исследований. Москва: Медицина - 2010.

Таблиця 1

Характеристики сполук **ІІа-е**

Сполука	Формула	$[M+1]^+$	Знайдено, %			$T_{\text{топл.}}, ^\circ\text{C}$	Вихід, %
			C	H	N		
ІІа	$\text{C}_{21}\text{H}_{19}\text{ClN}_4\text{O}_2$	395	64.15 63.88	4.71 4.85	13.95 14.19	259-261	73
ІІб	$\text{C}_{21}\text{H}_{18}\text{ClFN}_4\text{O}_2$	413	61.34 61.10	4.50 4.39	13.42 13.57	274-276	88
ІІв	$\text{C}_{22}\text{H}_{21}\text{ClN}_4\text{O}_2$	409	64.81 64.62	5.07 5.18	13.79 13.70	230-232	73
ІІг	$\text{C}_{22}\text{H}_{21}\text{ClN}_4\text{O}_2$	409	64.47 64.62	5.03 5.18	13.86 13.70	277-279	79
ІІд	$\text{C}_{22}\text{H}_{21}\text{ClN}_4\text{O}_3$	425	62.21 62.19	4.94 4.98	13.21 13.19	270-272	91
ІІе	$\text{C}_{25}\text{H}_{21}\text{ClN}_4\text{O}_2$	445	67.25 67.49	4.93 4.76	12.74 12.59	191-193	94

Таблиця 2

Спектри ІЧ та ЯМР ^1H сполук **ІІа-е**

Сполука	ІЧ спектри, $\nu, \text{см}^{-1}$				Спектри ЯМР $^1\text{H}, \delta, \text{м.ч. (JГц)}$
	C=C	C=O	C≡N	NH ₂	
ІІа	1650	1686	2194	3329 3387	1.01 с (6H, 2CH ₃), 2.09 д (1H, J 16.0), 2.16 д (1H, J 16.0), 2.35-2.52 м (2H, CH ₂), 4.20 с (1H, H ⁴ піран), 7.17 с (2H, NH ₂), 7.54-7.59 м (5H _{аром}), 7.70 с (1H, H ² імідазол)
ІІб	1651	1685	2191	3330 3386	1.01 с (6H, 2CH ₃), 2.12 д (1H, J 15.6), 2.23 д (1H, J 15.6), 2.33-2.48 м (2H, CH ₂), 4.16 с (1H, H ⁴ піран), 7.12 с (2H, NH ₂), 7.44-7.62 м (4H _{аром}), 7.71 с (1H, H ² імідазол)
ІІв	1648	1683	2190	3327 3381	0.94 с, 0.98 с, 1.00 с (6H, 2CH ₃), 2.03-2.26 м (7H, CH ₃ +2CH ₂), 4.22 с (1H, H ⁴ піран), 7.04 с (2H, NH ₂), 7.27-7.48 м (4H _{аром}), 7.64 с (1H, H ² імідазол)
ІІг	1651	1687	2195	3331 3392	1.01 с (6H, 2CH ₃), 2.09 д (1H, J 16.0), 2.22 д (1H, J 16.0), 2.29-2.44 м (2H, CH ₂), 2.40 с (3H, CH ₃), 4.17 с (1H, H ⁴ піран), 7.11 с (2H, NH ₂), 7.37-7.42 м (4H _{аром}), 7.65 с (1H, H ² імідазол)
ІІд	1650	1685	2193	3328 3391	1.00 с (6H, 2CH ₃), 2.09 д (1H, J 15.2), 2.22 д (1H, J 15.2), 2.33-2.50 м (2H, CH ₂), 3.82 с (3H, CH ₃ O), 4.14 с (1H, H ⁴ піран), 7.08 с (2H, NH ₂), 7.11 д (2H _{аром} , J 7.2), 7.49 ш.с (2H _{аром}), 7.62 с (1H, H ² імідазол)
ІІе	1647	1683	2189	3330 3385	0.65-2.14 м (9H, CH ₃ +2CH ₂ +2CH), 4.36-4.49 м (1H, H ⁴ піран), 6.67-6.92 м (2H, NH ₂), 7.34-7.70 м (5H _{аром}), 7.77 с (1H, H ² імідазол), 8.04-8.17 м (2H _{аром}).

Таблиця 3
Спектри ЯМР ^{13}C сполук **ІІ-е**

Сполука	δ , м.ч.														
	CH ₃	C ⁴	C ⁷	C ⁸	C ⁶	C ³	C ^{4a}	C ^{5□}	C≡N	C ^{2□}	C ^{4□}	C ²	C ^{8a}	C ⁵	Ar
ІІа	24.46	26.69	27.98	31.60	49.85	53.88	108.83	119.63	120.53	135.23	128.29	159.90	162.88	196.05	127.06, 129.24, 135.40, 145.86
ІІб	24.85	26.67	28.08	31.65	49.85	53.78	108.82	119.61	120.74	135.69	128.17	158.8	163.07	195.44	116.14 _д ($^2J_{\text{C-F}}$ 27.3 Гц), 131.63, 131.65, 162.74 _д ($^1J_{\text{C-F}}$ 281.4 Гц)
ІІв	24.94	25.11 25.32	27.71	31.67 31.77	49.93 50.06	53.65	108.76 109.16	119.29	120.04	136.19	128.07	158.91 159.19	162.70 163.55	195.55 195.26	17.35, 126.05, 126.39, 126.81, 129.31, 130.96, 135.85
ІІг	24.65	25.44	28.24	31.58	49.85	53.88	108.84	119.62	120.57	136.41	128.31	158.88	162.85	196.00	20.18, 127.11, 129.77, 132.86, 138.78
ІІд	24.78	26.79	28.22	31.56	49.87	53.95	108.86	119.43	119.57	136.20	128.48	158.84	162.80	195.98	15.37, 114.76, 126.20, 127.97, 159.57
ІІе	24.91 25.59	26.08 26.29	28.31	31.27 31.65	49.44 49.87	54.96	108.48	119.79	119.03	137.10	128.15	158.71	162.50	195.47	125.47, 126.34, 126.71, 127.25, 129.71, 130.23, 131.29, 131.54, 133.47, 133.76

Таблиця 4
Антибактеріальна та протигрибкова активність сполук **ІІ-е**

Сполука	Тест-культури мікроорганізмів											
	<i>S.aureus</i> 25923		<i>E.faecalis</i> 6783		<i>E. coli</i> 25922		<i>B. subtilis</i>		<i>P. aeruginosa</i> 27853		<i>C. albicans</i> 815	
	Концентрація препаратів (в мкг/мл)											
	МБсК	МБцК	МБсК	МБцК	МБсК	МБцК	МБсК	МБцК	МБсК	МБцК	МФсК	МФцК
ІІа	62,5	125	31,3	62,5	31,3	62,5	31,3	62,5	62,5	125	31,3	62,5
ІІб	62,5	125	62,5	125	31,3	62,5	62,5	125	62,5	125	31,3	62,5
ІІв	62,5	125	31,3	62,5	62,5	125	31,3	62,5	62,5	125	31,3	62,5
ІІг	250	500	62,5	125	31,3	62,5	62,5	125	62,5	125	31,3	62,5
Ід	250	500	62,5	125	62,5	125	62,5	125	62,5	125	62,5	125
Іе	62,5	125	31,3	62,5	31,3	62,5	31,3	62,5	62,5	125	31,3	62,5
Лорак сон	62,5	125	62,5	125	62,5	125	62,5	125	125	250	-	-

Summary

Mel'nyk O.Ya., Chornous V.O., Yakovychuk N.D., Vovk M. V.

SYNTHESIS, ANTIMICROBIAL AND ANTIFUNGAL ACTIVITY OF 4-(4-CHLORO-5-IMIDAZOLYL)SUBSTITUTED 2-AMINO-4H-CHROMEN-3-CARBONITRILES

2-Amino-4-(4-chloro-5-imidazolyl)-4H-chromen-3-carbonitriles were obtained by three component cyclization of 4-chloro-5-formylimidazoles with malononitrile and dimedone in the presence of catalytic amounts of sodium acetate. The bioscreening of synthesized compounds shown their high antimicrobial and antifungal activity.

Key words: 4-chloro-5- formylimidazoles, malononitrile, dimedone, 2-Amino-4-(4-chloro-5-imidazolyl)-4H-chromen-3-carbonitriles, condensation, antimicrobial and antifungal activity.